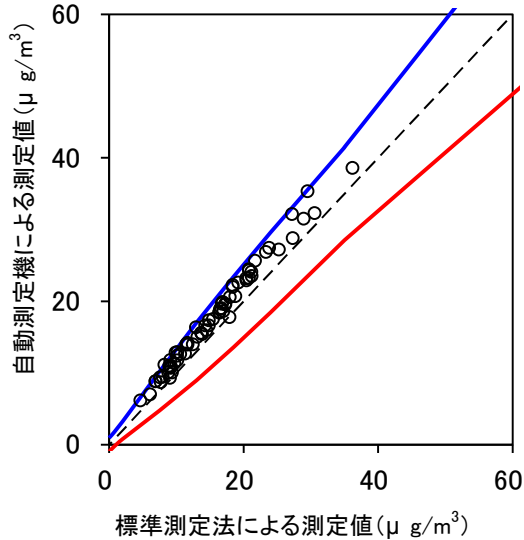


## ② PM-717（紀本電子工業（株））

### A：グループごとに $P_R$ を最大化する方法

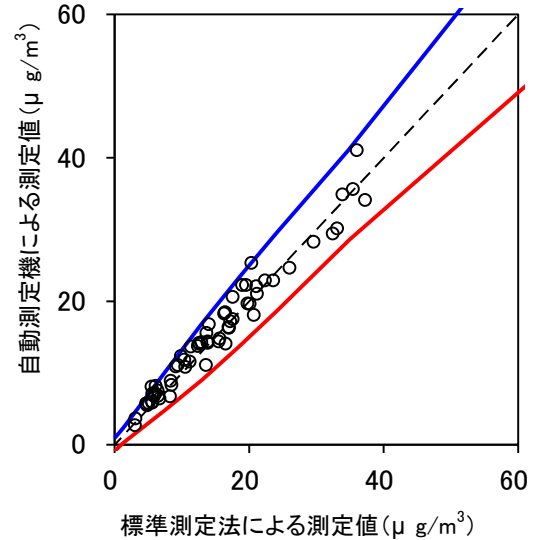
グループ 1 による評価

| 機種名          | PM-717・夏季 |
|--------------|-----------|
| 有効測定日数       | 72        |
| 自動測定機の有効データ数 | 67        |
| ハズレ値の個数      | 0         |
| r            | 9         |
| K            | 1.852     |
| 傾き           | 1.07      |



PM-717の夏季における管理限界線との関係

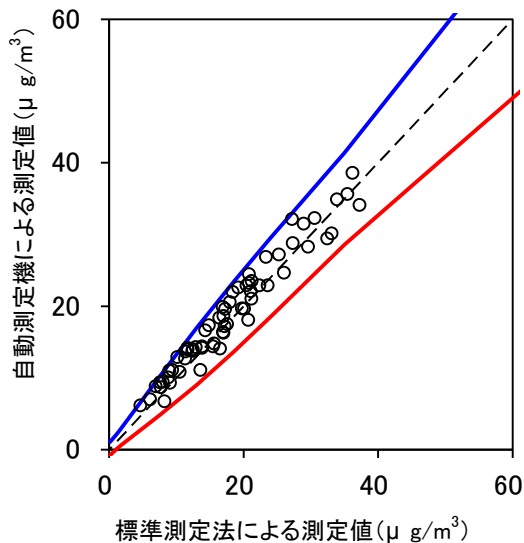
| 機種名          | PM-717・冬季 |
|--------------|-----------|
| 有効測定日数       | 70        |
| 自動測定機の有効データ数 | 62        |
| ハズレ値の個数      | 1         |
| r            | 9         |
| K            | 1.816     |
| 傾き           | 0.95      |



PM-717の冬季における管理限界線との関係

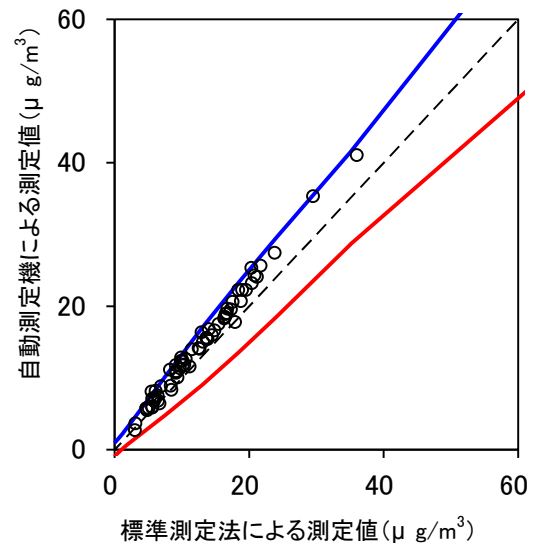
グループ 2 による評価

| 機種名          | PM-717・都市部 |
|--------------|------------|
| 有効測定日数       | 73         |
| 自動測定機の有効データ数 | 64         |
| ハズレ値の個数      | 0          |
| r            | 9          |
| K            | 1.831      |
| 傾き           | 0.96       |



PM-717の都市部における管理限界線との関係

| 機種名          | PM-717・非都市部 |
|--------------|-------------|
| 有効測定日数       | 69          |
| 自動測定機の有効データ数 | 65          |
| ハズレ値の個数      | 1           |
| r            | 9           |
| K            | 1.838       |
| 傾き           | 1.15        |



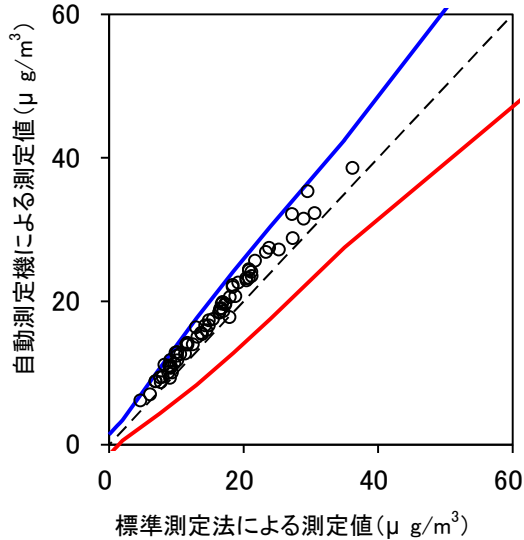
PM-717の非都市部における管理限界線との関係

## B : グループごとに $P_R$ を固定する方法

### (1) $\alpha = \alpha'_1$ の場合

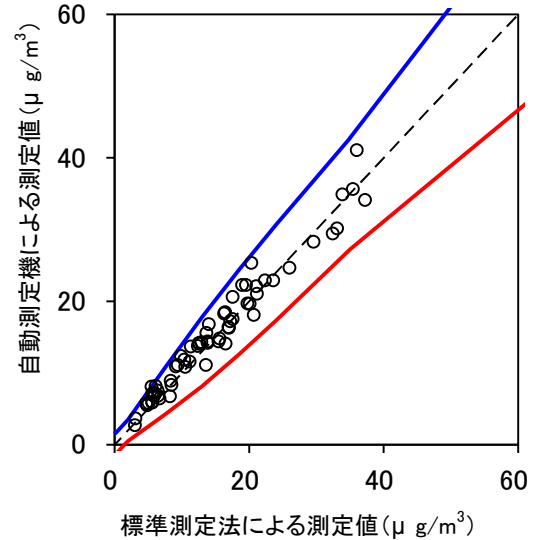
グループ 1 による評価

| 機種名          | PM-717・夏季 |
|--------------|-----------|
| 有効測定日数       | 72        |
| 自動測定機の有効データ数 | 67        |
| ハズレ値の個数      | 0         |
| r            | 6         |
| K            | 2.144     |
| 傾き           | 1.07      |



PM-717の夏季における管理限界線との関係

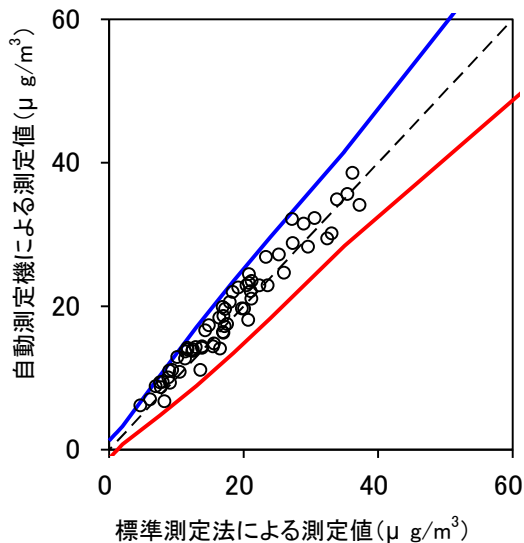
| 機種名          | PM-717・冬季 |
|--------------|-----------|
| 有効測定日数       | 70        |
| 自動測定機の有効データ数 | 62        |
| ハズレ値の個数      | 0         |
| r            | 5         |
| K            | 2.222     |
| 傾き           | 0.95      |



PM-717の冬季における管理限界線との関係

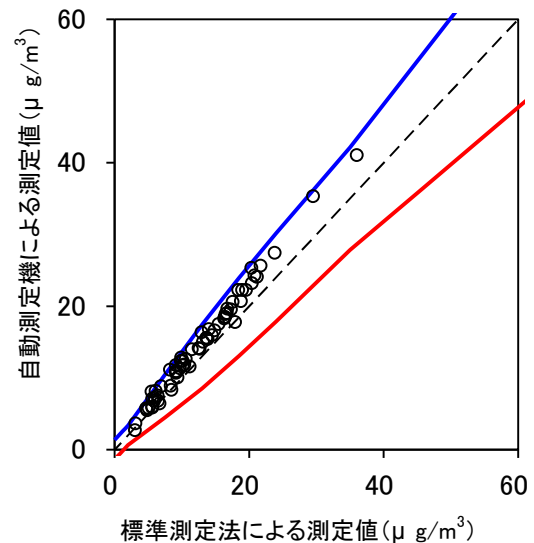
グループ 2 による評価

| 機種名          | PM-717・都市部 |
|--------------|------------|
| 有効測定日数       | 73         |
| 自動測定機の有効データ数 | 64         |
| ハズレ値の個数      | 0          |
| r            | 9          |
| K            | 1.883      |
| 傾き           | 0.96       |



PM-717の都市部における管理限界線との関係

| 機種名          | PM-717・非都市部 |
|--------------|-------------|
| 有効測定日数       | 69          |
| 自動測定機の有効データ数 | 65          |
| ハズレ値の個数      | 1           |
| r            | 7           |
| K            | 2.045       |
| 傾き           | 1.15        |

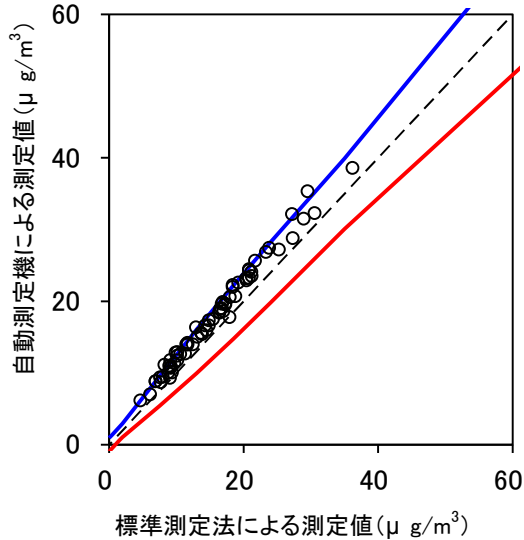


PM-717の非都市部における管理限界線との関係

(2)  $\alpha = \alpha'_2$  の場合

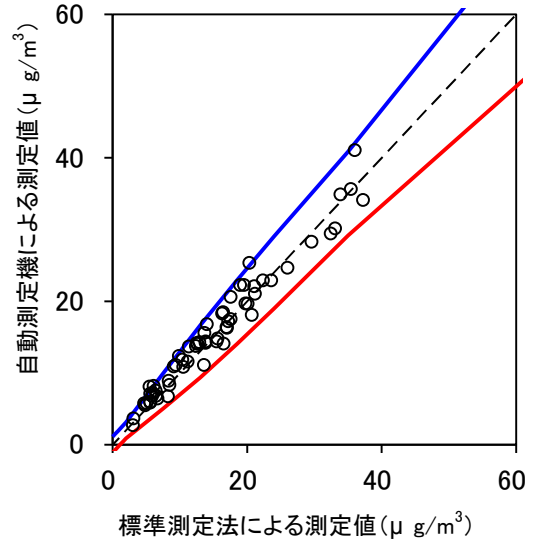
グループ 1 による評価

| 機種名          | PM-717・夏季 |
|--------------|-----------|
| 有効測定日数       | 72        |
| 自動測定機の有効データ数 | 67        |
| ハズレ値の個数      | 9         |
| r            | 18        |
| K            | 1.404     |
| 傾き           | 1.07      |



PM-717の夏季における管理限界線との関係

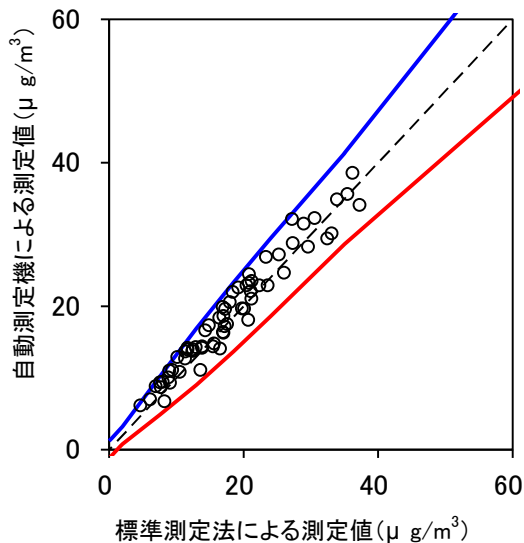
| 機種名          | PM-717・冬季 |
|--------------|-----------|
| 有効測定日数       | 70        |
| 自動測定機の有効データ数 | 62        |
| ハズレ値の個数      | 2         |
| r            | 12        |
| K            | 1.671     |
| 傾き           | 0.95      |



PM-717の冬季における管理限界線との関係

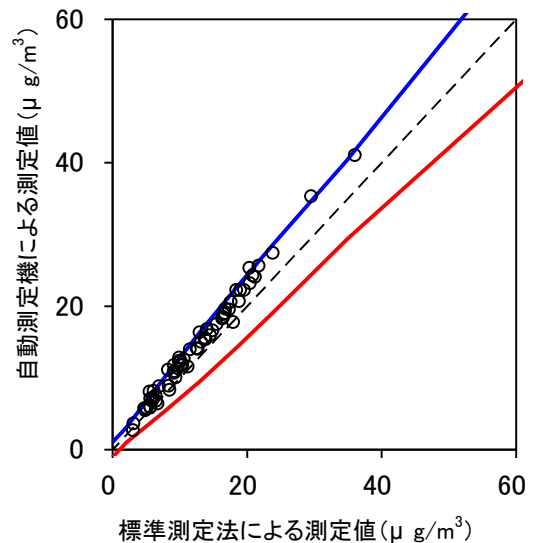
グループ 2 による評価

| 機種名          | PM-717・都市部 |
|--------------|------------|
| 有効測定日数       | 73         |
| 自動測定機の有効データ数 | 64         |
| ハズレ値の個数      | 0          |
| r            | 10         |
| K            | 1.814      |
| 傾き           | 0.96       |



PM-717の都市部における管理限界線との関係

| 機種名          | PM-717・非都市部 |
|--------------|-------------|
| 有効測定日数       | 69          |
| 自動測定機の有効データ数 | 65          |
| ハズレ値の個数      | 6           |
| r            | 14          |
| K            | 1.582       |
| 傾き           | 1.15        |

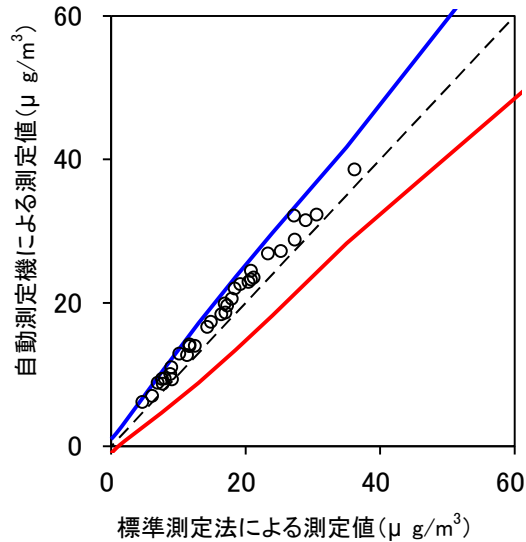


PM-717の非都市部における管理限界線との関係

## C: フィールドごとに $P_R$ を最大化する方法

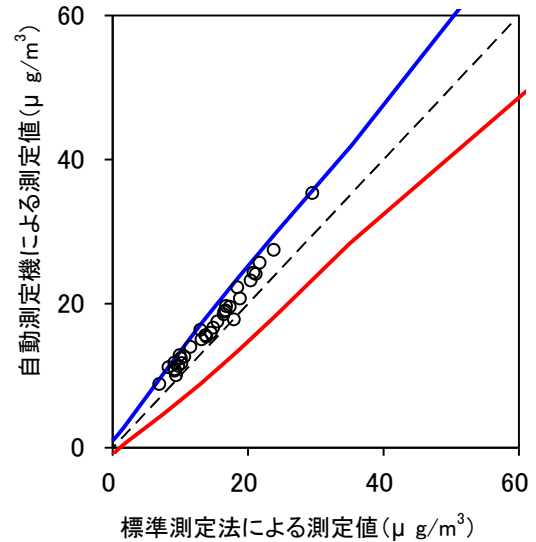
フィールドごとによる評価

| 機種名 PM-717・都市部(夏) |       |
|-------------------|-------|
| 有効測定日数            | 37    |
| 自動測定機の有効データ数      | 34    |
| ハズレ値の個数           | 0     |
| r                 | 5     |
| K                 | 1.917 |
| 傾き                | 1.06  |



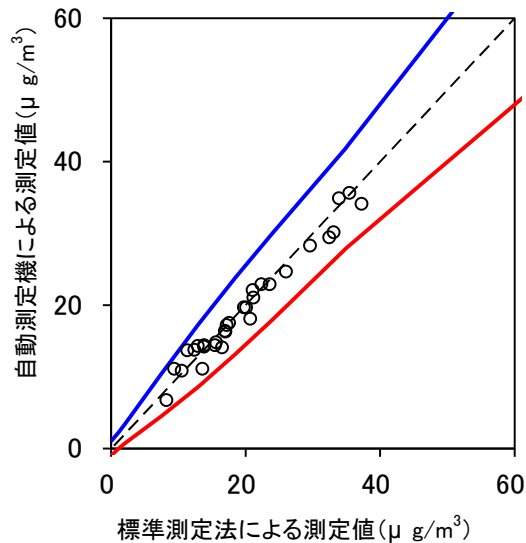
PM-717の都市部(夏)における管理限界線との関係

| 機種名 PM-717・非都市部(夏) |       |
|--------------------|-------|
| 有効測定日数             | 35    |
| 自動測定機の有効データ数       | 33    |
| ハズレ値の個数            | 0     |
| r                  | 5     |
| K                  | 1.904 |
| 傾き                 | 1.12  |



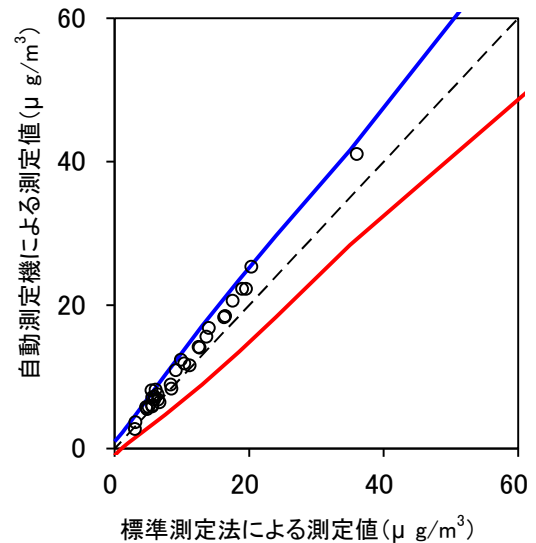
PM-717の非都市部(夏)における管理限界線との関係

| 機種名 PM-717・都市部(冬) |       |
|-------------------|-------|
| 有効測定日数            | 36    |
| 自動測定機の有効データ数      | 30    |
| ハズレ値の個数           | 0     |
| r                 | 4     |
| K                 | 2.007 |
| 傾き                | 0.92  |



PM-717の都市部(冬)における管理限界線との関係

| 機種名 PM-717・非都市部(冬) |       |
|--------------------|-------|
| 有効測定日数             | 34    |
| 自動測定機の有効データ数       | 32    |
| ハズレ値の個数            | 1     |
| r                  | 5     |
| K                  | 1.889 |
| 傾き                 | 1.16  |



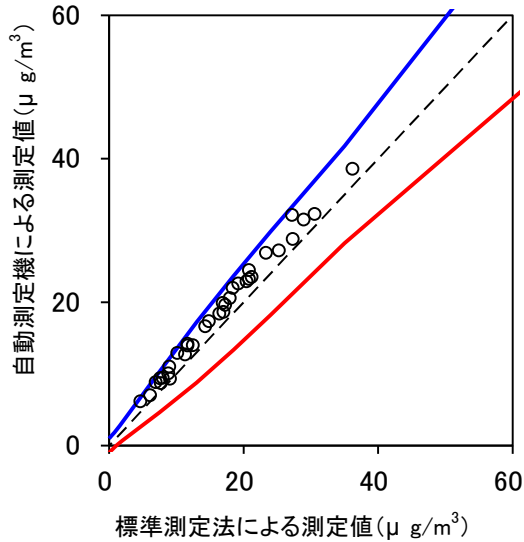
PM-717の非都市部(冬)における管理限界線との関係

## D: フィールドごとにPRを固定する方法

### (1) $\alpha = \alpha'_1$ の場合

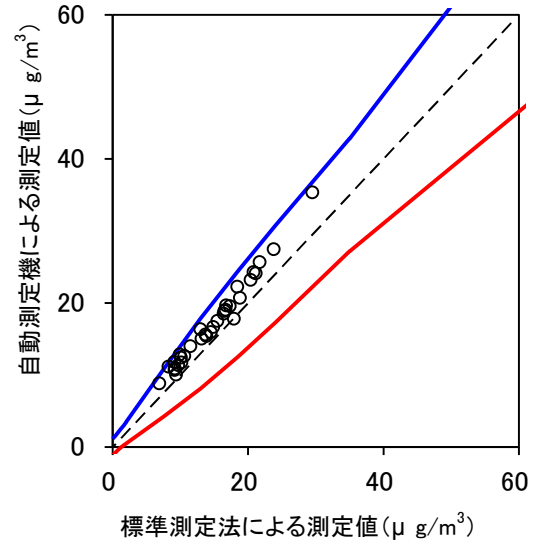
フィールドごとによる評価

| 機種名          | PM-717・都市部(夏) |
|--------------|---------------|
| 有効測定日数       | 37            |
| 自動測定機の有効データ数 | 34            |
| ハズレ値の個数      | 0             |
| r            | 5             |
| K            | 1.937         |
| 傾き           | 1.06          |



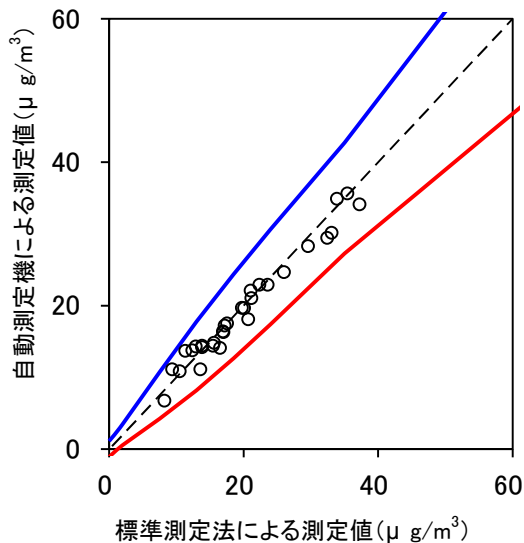
PM-717の都市部(夏)における管理限界線との関係

| 機種名          | PM-717・非都市部(夏) |
|--------------|----------------|
| 有効測定日数       | 35             |
| 自動測定機の有効データ数 | 33             |
| ハズレ値の個数      | 0              |
| r            | 3              |
| K            | 2.240          |
| 傾き           | 1.12           |



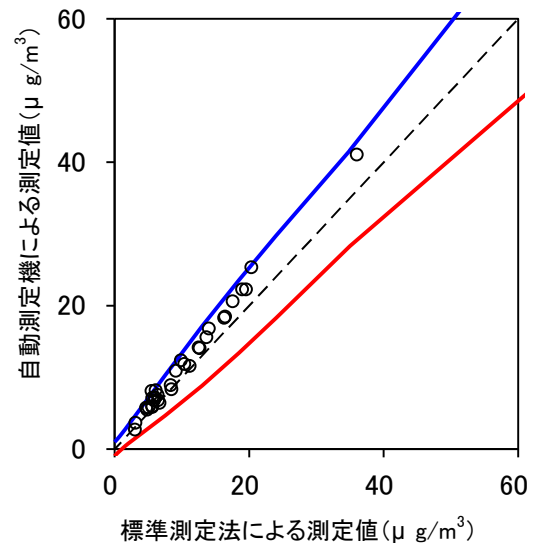
PM-717の非都市部(夏)における管理限界線との関係

| 機種名          | PM-717・都市部(冬) |
|--------------|---------------|
| 有効測定日数       | 36            |
| 自動測定機の有効データ数 | 30            |
| ハズレ値の個数      | 0             |
| r            | 3             |
| K            | 2.209         |
| 傾き           | 0.92          |



PM-717の都市部(冬)における管理限界線との関係

| 機種名          | PM-717・非都市部(冬) |
|--------------|----------------|
| 有効測定日数       | 34             |
| 自動測定機の有効データ数 | 32             |
| ハズレ値の個数      | 1              |
| r            | 5              |
| K            | 1.910          |
| 傾き           | 1.16           |

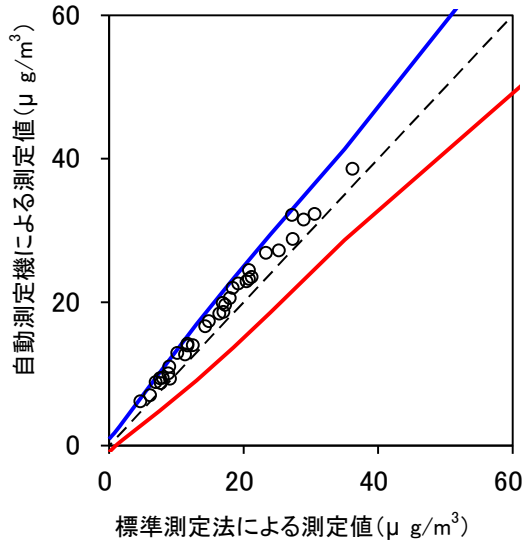


PM-717の非都市部(冬)における管理限界線との関係

(2)  $\alpha = \alpha'_2$  の場合

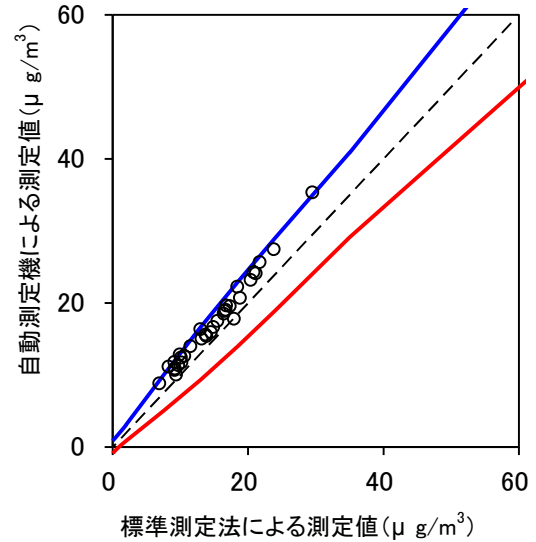
フィールドごとによる評価

| 機種名 PM-717・都市部(夏) |       |
|-------------------|-------|
| 有効測定日数            | 37    |
| 自動測定機の有効データ数      | 34    |
| ハズレ値の個数           | 0     |
| r                 | 6     |
| K                 | 1.811 |
| 傾き                | 1.06  |



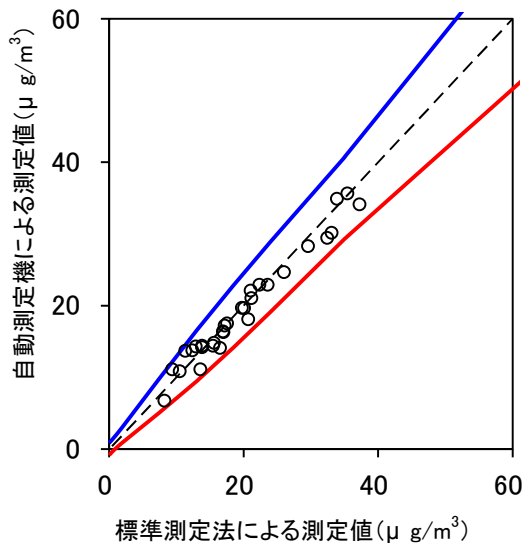
PM-717の都市部(夏)における管理限界線との関係

| 機種名 PM-717・非都市部(夏) |       |
|--------------------|-------|
| 有効測定日数             | 35    |
| 自動測定機の有効データ数       | 33    |
| ハズレ値の個数            | 2     |
| r                  | 7     |
| K                  | 1.682 |
| 傾き                 | 1.12  |



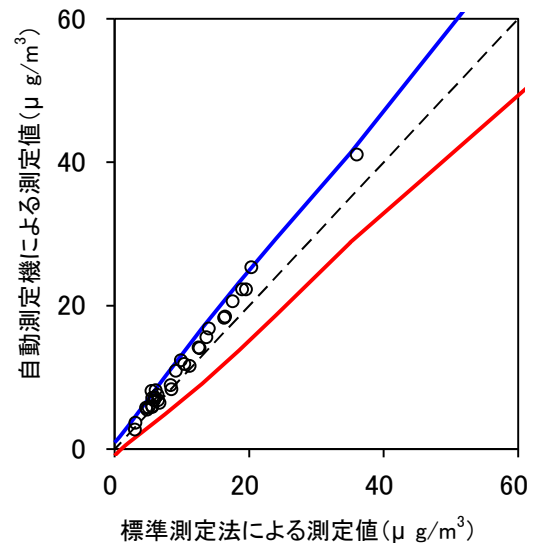
PM-717の非都市部(夏)における管理限界線との関係

| 機種名 PM-717・都市部(冬) |       |
|-------------------|-------|
| 有効測定日数            | 36    |
| 自動測定機の有効データ数      | 30    |
| ハズレ値の個数           | 0     |
| r                 | 7     |
| K                 | 1.629 |
| 傾き                | 0.92  |



PM-717の都市部(冬)における管理限界線との関係

| 機種名 PM-717・非都市部(冬) |       |
|--------------------|-------|
| 有効測定日数             | 34    |
| 自動測定機の有効データ数       | 32    |
| ハズレ値の個数            | 2     |
| r                  | 6     |
| K                  | 1.781 |
| 傾き                 | 1.16  |



PM-717の非都市部(冬)における管理限界線との関係